

# 高阶 Bessel-Gauss 光束的产生方法

靳李丽, 朱艳英, 魏 勇, 沈军峰, 窦红星, 李云涛  
(燕山大学理学院, 河北 秦皇岛 066004)

**摘 要:** 高阶贝塞尔-高斯(Bessel-Gauss)光束在一定条件下呈现“无衍射”特性,是一种具有广阔应用前景的空心光束。本文首先对高阶 Bessel-Gauss 光束的产生方法进行了分析和归类,将其产生方式分为主动式和被动式两大类。其次对获得高阶 Bessel-Gauss 光束的谐振腔法、几何光学法、光学全息法、计算全息法、非线性光学法等实验方法进行了阐述。最后总结了各种方法产生高阶 Bessel-Gauss 光束的优缺点。

**关键词:** 高阶贝塞尔-高斯(Bessel-Gauss)光束;空心光束;谐振腔法;几何光学法;计算全息法;非线性光学法

**中图分类号:** O436      **文献标识码:** A      **DOI:** 10.3969/j.issn.1001-5078.2012.03.020

## Generation of high-order Bessel-Gauss beams

JIN Li-li, ZHU Yan-ying, WEI Yong, SHEN Jun-feng, DOU Hong-xing, LI Yun-tao  
(Physics Department, Yanshan University, Qinhuangdao 066004, China)

**Abstract:** Higher-order Bessel - Gauss beams shows “diffraction-free” characteristics under certain conditions. It is a kind of hollow beam that has broad application prospect. In this paper, we summarize and classify the generation methods. They can be divided into two categories-active way and passive way. The present generation methods-Resonator method, Geometrical optics method, Optical holographic method, computer generated hologram, Nonlinear optical method are described and analyzed. Finally we introduce the advantages and disadvantages of each method.

**Key words:** higher-order Bessel - Gauss beams; hollow beams; resonator method; geometrical optics method; computer generated hologram; nonlinear optical method

### 1 引言

近几年来,空心光束<sup>[1-2]</sup>作为激光导管、光学镊子(光钳)和光学扳手,已成为实现微观粒子(如微米粒子、纳米粒子和生物细胞等)精确操纵和控制的有力工具。用来描述空心光束的模型有很多种,比如双高斯分布的空心光束, Laguerre-Gauss 光束,局域空心光束,高阶 Bessel-Gauss 光束<sup>[3]</sup>等。其中高阶 Bessel-Gauss 光束在一定条件下呈现“无衍射”<sup>[4]</sup>特性,同时还具有光学自旋角动量与轨道角动量<sup>[5]</sup>的特性。这种光束适用于微米级甚至是纳米级粒子的激光旋转与导引操作,冷原子束的激光准直、原子光刻术、激光制导和激光测距或测速等<sup>[6-8]</sup>。由于高阶 Bessel-Gauss 光束具有很好的应

用前景,人们对其实现方法进行了不断地完善并取得了一定的成果。

目前,获得该光束的实验方法主要有:谐振腔法<sup>[9-14]</sup>、几何光学法<sup>[15-18]</sup>、光学全息法<sup>[19]</sup>、计算全息法<sup>[20-21]</sup>、非线性光学法<sup>[22-32]</sup>。这些方法可以归为两大类,即主动式和被动式<sup>[11]</sup>。所谓主动式就是通过特定结构的谐振腔由激光器直接产生<sup>[33]</sup>,而被动式则是由其他的光束转换生成。本文将近些年产生高阶 Bessel-Gauss 光束的方法进行了阐述和分析。

**基金项目:** 国家自然科学基金项目(No. 50875232)资助。

**作者简介:** 靳李丽(1984-),女,硕士研究生,主要从事光镊技术研究应用。E-mail:juanz1985@126.com

**收稿日期:** 2011-07-12

## 2 基础理论

迄今为止已有三类无衍射光束<sup>[1]</sup>。第一类是众所周知的无限大均匀平面波;第二类是椭圆对称的马提厄(Mathieu)光束;第三类是具有圆对称性的贝塞尔(Bessel)光束。Bessel 光束对应于圆形波导中的 TE 和 TM 模,具有传播不变性。

1987 年, Durnin 发现平面光波的波动方程在自由空间中还有一个解,这个解具有一个令人吃惊的特性 - 即它在传播时不扩散,故称为无衍射光束<sup>[4]</sup>。

沿着  $z$  方向传播具有圆对称性的平面波,其形式如下:

$$U(\rho, \varphi, z, t) = f(\rho) \exp[i(\beta z - \omega t)] \quad (1)$$

其中,  $\rho = \sqrt{x^2 + y^2}$  为横向径向坐标;  $\varphi$  为方位角;  $\beta$  是沿着  $z$  方向的传播常数;  $\omega$  为角频率。

光束的波动方程为:

$$\nabla^2 U(\rho, \varphi, z; t) = \frac{1}{c^2} \frac{\partial^2 U(\rho, \varphi, z; t)}{\partial t^2} \quad (2)$$

将公式(1)代入公式(2),可以得到满足波动方程的解为:

$$U(\rho, \varphi, z; t) = J_m(\alpha \rho) \exp(im\varphi) \exp[i(\beta z - \omega t)] \quad (3)$$

这里,  $\alpha^2 + \beta^2 = (\omega/c)^2 = k^2$ ;  $J_m$  为  $m$  阶 Bessel 函数。

高阶 Bessel 光束的强度分布,即为波动方程解的平方:

$$I(\rho, \varphi, z; t) = |U(\rho, \varphi, z; t)|^2 = J_m^2(\alpha \rho) \quad (4)$$

由公式(4)可见,光强度分布完全与它的传播距离  $z$  无关,理想的高阶 Bessel 光束的横截面光强度随着距离的增加不发生变化。即随着传播距离的增加,光束不扩散,这就是所说的无衍射光束。

从理论上说,理想的高阶 Bessel 光束携带无穷大的能量,违反了能量守恒定律,所以很难实现理想的高阶 Bessel 光束。为了克服物理上实现无衍射 Bessel 光束的困难,必须在高阶 Bessel 光束上另加一个高斯轮廓分布的调制,即可形成高阶 Bessel-Gauss 光束,其形式如下:

$$U(\rho, \varphi, z; t) = J_m(\alpha \rho) \exp(im\varphi) \exp[i(\beta z - \omega t)] \exp\left(-\frac{\rho^2}{w_z^2}\right) \quad (5)$$

其中,  $w_z$  为高斯光束的束腰。

这样高阶 Bessel-Gauss 光束不再携带无穷大的能量,可以在实验上实现。

## 3 产生高阶 Bessel-Gauss 光束的方法

获得高阶 Bessel-Gauss 光束的实验方法可分为两大类,即主动式和被动式。所谓主动式就是通过特定结构的谐振腔由激光器直接产生高阶 Bessel-Gauss 光束,而被动式则是由其他的光束转换成高阶 Bessel-Gauss 光束。

### 3.1 产生高阶 Bessel-Gauss 光束的方法——主动式

#### 3.1.1 回音壁模式(WGM)谐振器输出高阶 Bessel-Gauss 光束<sup>[9-11]</sup>

设计一个回音壁模式的谐振器——WGM 谐振腔与一个波导耦合在一起(如图 1 所示),图中左边为波导,右边为谐振腔,谐振腔中光的模式是贝塞尔模式。通过调节谐振腔与波导之间的距离  $d$ ,可以改变谐振器对光的加载。如果谐振腔的横截面与波导的横截面相等,可达到临界耦合,这样所有的光都可以从谐振腔传入波导。

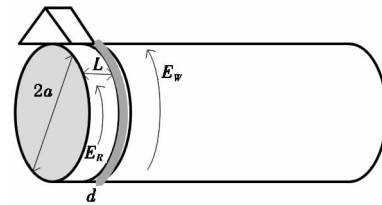


图 1 圆柱状的回音壁模式谐振器

Fig. 1 cylindrical whispering gallery mode resonator

在圆柱形波导及谐振腔中  $E$  可以用亥姆霍兹(Helmholtz)方程来描述:

$$\Delta E + k^2 \varepsilon(r) E = 0 \quad (6)$$

其中,  $k = \frac{\omega}{c}$ ,  $\omega$  是波频;  $\varepsilon(r)$  是径向分布的折射率。

对于谐振腔来说,方程的解是:

$$E_R = \psi_R e^{\pm \nu \phi} / \sqrt{r} \quad (7)$$

其中,  $\psi_R = \psi_{R0} \sin(k_m z) J_\nu(k_{\nu,q} r)$ ;  $\nu = 0, 1, 2, \dots, m = 1, 2, \dots$  和  $q = 1, 2, \dots$  分别是角量子数、纵向量子数和径向量子数;  $L$  是谐振腔的长度;  $k_m = \frac{\pi m}{L}$  和  $k_{\nu,q}$  分别是特征方程的纵向波数和横向波数。它们满足如下方程:

$$k_m^2 + k_{\nu,q}^2 = k^2 \varepsilon_0 \quad (8)$$

其中,  $\varepsilon_0$  是谐振腔磁化率与波导磁化率的比值。

对于波导来说,该方程的解是:

$$E_W = \psi_W e^{\pm \nu \phi} / \sqrt{r} \quad (9)$$

其中,  $\psi_W = \psi_{W0} e^{i\beta z} J_\nu(k_{\nu,q} r)$ ,  $\beta$  是传播常数。

$$\beta^2 + k_{\nu,q}^2 = k^2 \varepsilon_0 \quad (10)$$

当波导中的量子数与谐振腔中的量子数一致

时,谐振腔中的模式就会影响波导中的模式。因此,通过泵浦一个特定的 WGM 模式能够产生一个携带有角量子数为  $\nu$  的传输波。

对于  $\nu \gg 1$  高阶 Bessel-Gauss 光束的 TE 模来说,  $k_{\nu,q}$  表示为:

$$k_{\nu,q} \approx \frac{1}{a} \left[ \nu + \alpha_q \left( \frac{\nu}{2} \right)^{1/3} - \sqrt{\frac{\epsilon_0}{\epsilon_0 - 1}} \right] \quad (11)$$

其中,  $a$  是谐振腔与波导的半径比值;  $\alpha_q$  是艾里函数<sup>[34]</sup>的第  $q$  个根。

谐振腔通过隐失场耦合至波导中的高阶 Bessel-Gauss 光束不能传输出波导。为了使得生成的贝塞尔光束能够传入自由空间,需要将谐振腔的一端设置为锥形(如图 2 所示)。

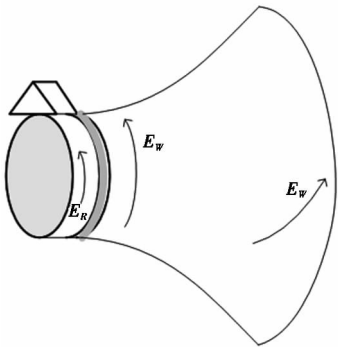


图2 锥形回音壁模式谐振器

Fig.2 tapered whispering gallery mode resonator

根据上述理论,2006年在加州理工学院的喷气推进实验室,Anatoliy A. Savchenkov 等人进行了 WGM 谐振器输出高阶 Bessel-Gauss 光束的实验。他们将多模石英光纤的一端用氢火炬烧制熔化,拉制成圆锥圆柱的液滴状,制成了回音壁模式谐振器,如图 3 所示,该谐振腔直径为 50  $\mu\text{m}$ ,在 30 mm 的长度内,锥形直径从 200  $\mu\text{m}$  变到 3 mm。

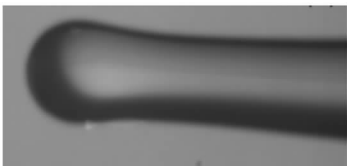


图3 低反差的回音壁模式谐振器

Fig.3 low contrast WGM resonator

由于锥形入口与出口的比值较小,他们产生的贝塞尔光束在自由空间的传播距离不超过 100  $\mu\text{m}$ ,并且传出的贝塞尔光束的阶数无法确定。

3.1.2 圆柱形波导管产生高阶 Bessel-Gauss 光束<sup>[12]</sup>

Vladimir S. Ilchenko 等人利用圆柱型波导管产生了阶数高达 195 的 Bessel-Gauss 光束。他们对回

音壁模式谐振器做了更为完善的理论阐述——将实验中产生的谐振器顶端作为类球形处理。并且在入口处加一个柱棱镜(图 4 为模型图)。

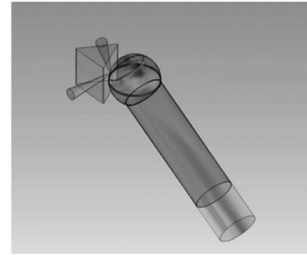


图4 轨道动量发生器的原理图

Fig.4 schematic of the orbital momentum generator

球形/近球形 WGM 谐振器的电场振幅分布为:

$$\psi_{\text{WGM}} = \frac{\bar{\psi}_{\text{WGM}}}{\sqrt{r}} P_l^m(\cos\theta) J_{l+1/2}(k_{l,q}r) e^{im\phi} \quad (12)$$

其中,  $\theta, \phi, r$  是球形坐标;  $l = 0, 1, 2, \dots$  是模数;  $\bar{\psi}_{\text{WGM}}$  是尺度参数;  $k_{l,q} = \omega n_0 / c$  是模式波数;  $n_0$  是谐振腔材料的折射率;  $\omega$  是入射光圆频率。

对于高阶 WGM,有:

$$k_{l,m,q} \approx \frac{1}{R_{\text{WGM}}} \left[ l + \alpha_q \left( \frac{l}{2} \right)^{1/3} \right] \quad (13)$$

其中,  $R_{\text{WGM}}$  是谐振腔的半径;  $\alpha_q$  是艾利函数的第  $q$  个根。

值得注意的是,对于理想球体,  $k_{l,m,q}$  不依赖于  $m$ 。

从 WGM 谐振腔耦合至圆形波导管中的 Bessel 光束的电场振幅可以表示为:

$$\psi_w = \bar{\psi}_w J_\nu(k_{\nu,q}r) e^{i\nu\phi} e^{i\beta z} \quad (14)$$

其中,  $\phi, r, z$  是柱坐标;  $\nu = 0, 1, 2, \dots$  和  $q = 1, 2, \dots$  分别是角向量子数和径向量子数;  $\bar{\psi}_w$  是比例因子;  $\beta$  是 Bessel 光束的传播常数。

Vladimir S. Ilchenko 等人在先对直径为 125  $\mu\text{m}$  的 SMF28 的光纤进行改造。将 2 mm 长的二氧化硅光纤熔化拉制成一端为 122.81  $\mu\text{m}$  直径的 WGM 谐振腔,如图 5 所示,其形状近似球形。然后,利用柱棱镜将 979 nm 的激光慢慢扫描耦合至 WGM 结构中,最终得到了在自由空间中传播约为 1 mm 的阶数为 195 的 Bessel-Gauss 光束。柱棱镜的作用是:通过改变入射到柱棱镜上光的角度确定 Bessel-Gauss 光束的阶数;通过调节柱棱镜与回音壁谐振器的距离改变光转换效率(实验中光转换效率达到了 80%),并且增加 Bessel-Gauss 光束在自由空间中的传播距离。

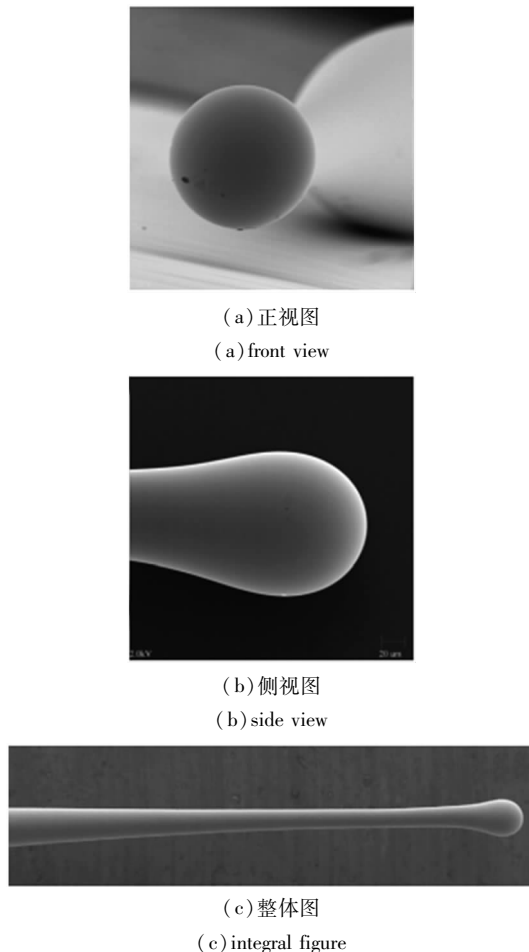


图 5 实验所用的谐振器的扫描电子显微镜图像  
Fig. 5 scanning electron microscope images of the experimental realization of the generator

### 3.2 产生高阶 Bessel-Gauss 光束的方法 - 被动式

被动方式的方法有:几何光学法、光学全息法、计算全息法、非线性光学法这四类。光学全息法要求预期光束必须存在,计算全息法只要求波的表达式。计算全息法取代了光学全息法。因此,我们只简单介绍除光学全息法的其他三类。

#### 3.2.1 几何光学法

几何光学法是产生高阶 Bessel-Gauss 光束常用的方法,即采用一个轴棱锥将一束拉盖尔-高斯光束(Laguerre-Gauss)光束转换为一束高阶 Bessel-Gauss 光束<sup>[15]</sup>。实验装置如图 6 所示。

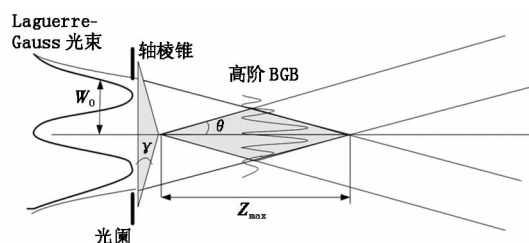


图 6 几何光学法的实验装置  
Fig. 6 the experimental device of geometrical optics method

当用一个弧向指标为  $l$  的单环 Laguerre-Gauss 光束照射位于其束腰的圆锥棱镜时,通过固定相位方法计算菲涅尔衍射积分,可得:

$$E(r, \phi, z) = \frac{1}{i\lambda z} \exp[ik(z + r^2/2z)] \times \int_0^R dr' r' [A \cdot (\sqrt{2}r'/w_0)^l \times \exp(-r'/w_0^2) \exp(ik_r r')] \exp(ikr'^2/2z) \int_0^{2\pi} d\phi' \exp(i l \phi) \exp[-ikr' r \cos(\phi - \phi')/z] \quad (15)$$

式中,  $A$  是归一化常数,相位因子  $\exp(-ik_r r')$  是圆锥棱镜引起的相位延迟,并且 Laguerre-Gauss 光束的场振幅(设  $p=0$ )可分解为径向和弧向分量。忽略与位置有关的因子,对径向位置  $r'$  和方位角  $\phi'$  进行积分,则通过棱镜后的输出强度为:

$$I(r, z) \propto z^{2l+1} \exp\left(-\frac{2z^2}{z_{\max}^2}\right) J_l^2(k_r r) \quad (16)$$

Arlt 等人采用该方法获得了 1~4 阶的 Bessel-Gauss 光束。

近些年,利用几何光学法产生零阶 Bessel-Gauss 光束的研究较多,Graham Milne 等人<sup>[17]</sup>设计了一种液体轴棱锥的新型器件。改变注入液体的折射率,可以很容易地改变有效锥角,从而得到不同参量的零阶 Bessel-Gauss 光束。Selcuk Akturk 等人<sup>[18]</sup>设计了液浸式轴棱锥,用波长为 633 nm 的氦氖激光照射其上产生了零阶 Bessel-Gauss 光束。这两个实验给我们带来了启示,即是否可以采用 Laguerre-Gauss 光束照射到这两种器件上,以便获得高阶 Bessel-Gauss 光束。

#### 3.2.2 计算全息法

计算全息法是一种产生高阶 Bessel-Gauss 光束的简单有效的方法。早期,Vasara 等人使用二元振幅全息片产生了  $J_1$  光束和  $J_6$  光束。Paterson 等人设计了有限孔径旋转三棱镜型计算全息图<sup>[20]</sup>,产生了  $J_1$  光束和  $J_{10}$  光束。以前的方法都是把相位掩膜做成干板,再进行实验。

现有一种新方法,即将干板换为空间调制器——透光的液晶显示器上呈现出相位掩膜。Narupon Chattapiban 等人用空间调制器法<sup>[21]</sup>产生了高阶 Bessel-Gauss 光束。

无衍射光束的形式为:

$$E(x', y', z' \geq 0, t) = \exp[i(\beta z' - \omega t)] \times \int_0^{2\pi} A(\phi) \exp[i\alpha(x' \cos\phi + y' \sin\phi)] d\phi \quad (17)$$

其中,  $A(\phi)$  是复振幅分布函数;  $(\rho, \phi)$  是光栅平面的极坐标;  $(x', y')$  是像面坐标;  $z'$  是光栅平面与像平面之间的距离; 参数  $\alpha, \beta$  与波矢  $k$  之间的关系是

$$\alpha^2 + \beta^2 = k^2.$$

设有一个半径为  $R$  的全息图,其振幅分布函数为:

$$t(\rho, \phi) = \begin{cases} A(\phi) \exp[i(2\pi\rho/\rho_0)] & \rho \leq R \\ 0 & \rho > R \end{cases} \quad (18)$$

其中,参数  $\alpha = 2\pi/\rho_0$ 。

如果选择  $A(\phi) = \exp(in\phi)$ ,那么式(17)就会变为阶数为  $n$  的贝塞尔函数。这种情况下,  $t(\rho, \phi)$  成为一个相位函数的形式,即:

$$t(\rho, \phi) = \exp[i\psi(\rho, \phi)] \quad (19)$$

其中:

$$\psi(\rho, \phi) = n\phi + 2\pi\rho/\rho_0 \quad (20)$$

实验中,先由电脑绘制出相位掩膜,然后将其显示在空间光调制器上。光束通过一系列变换后传至空间光调制器,空间光调制器上面显示有 64 级相位的全息图,经 3 个平面镜反射增加传输路径后,再通过两个过滤片到达 CCD。实验装置如图 7 所示。

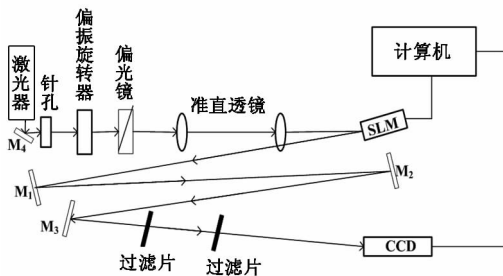


图 7 高阶 Bessel-Gauss 光束的产生装置  
Fig. 7 experimental setup of the generation of high-order Bessel-Gauss beams

实验中,改变  $\rho_0$  可调节 Bessel 光束暗斑的尺寸,调整偏置电压,也可调节 Bessel 光束暗斑的尺寸。

### 3.2.3 非线性光学法

目前,非线性光学法是被动式中研究最多的方法。早在 19 世纪初人们就注意到双轴晶体锥形折射可以产生空心光束。2001 年, T. A. King 等人<sup>[23]</sup>发现零阶 Bessel 光束圆偏振光沿双轴晶体光轴传播可以转变为二阶 Bessel 光束。同年, N A Khilo 等人<sup>[24]</sup>发现傍轴情况下,单轴晶体中的左旋与右旋圆偏振光相互耦合,利用这种耦合产生涡旋,输入零阶的左旋 Bessel 光束,就可以在单轴晶体中产生二阶的右旋 Bessel 光束。

也可以利用非线性晶体的非线性光学效应产生了高阶 Bessel-Gauss 光束。其原理如下:基频波垂直传播到非线性调制的平面,导致倍频波以顶角为

$2\alpha$  的锥形发散传播,如图 10 所示,图中 NLC 代表非线性径向对称周期调制极化非线性晶体,其纵向相位条件由  $2k_1 = k_2 \cos\alpha$  决定,其中,  $k_1, k_2$  分别是基频波与二次谐波的波数。

一束频率为  $\omega$  的基频波照射到非线性晶体结构上,然后受到空间调制。非线性晶体结构的二阶非线性系数为:

$$d^{(2)}(\rho) = d_0^{(2)} g(\rho) \\ g(\rho) = \text{sgn}[\cos(2\pi\rho/\Lambda + \delta)] \quad (21)$$

其中,  $\rho(x^2 + y^2)^{1/2}$  是横向径向坐标;  $\Lambda$  是环形调制周期;  $\delta$  是相位偏差。

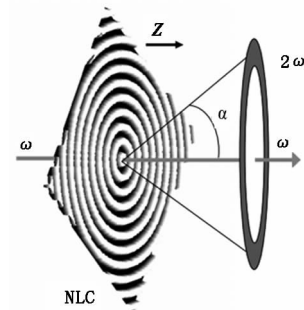


图 8 产生双频率  $2\omega$  的轴向 Bessel 光束的参量示意图  
Fig. 8 schematic of the parametric generation of the axial Bessel beam with the double frequency  $2\omega$

设基频波为:

$$E_0^\omega(\rho, z) = \frac{\mathbf{u}}{2} \left[ A(z) e^{ik_1 z} \exp\left(-\frac{\rho^2}{w_0^2}\right) + c. c. \right] \quad (22)$$

其中,  $\mathbf{u} = (u_x, u_y)$  是极化矢量;  $k_1$  是基波波数。

基频波在非线性介质结构中传播发生极化,极化强度  $P^{2\omega} = (0, 0, P_z^{2\omega})$ :

$$P_z^{2\omega} = d_{31} E_x^\omega E_x^\omega + d_{32} E_y^\omega E_y^\omega \quad (23)$$

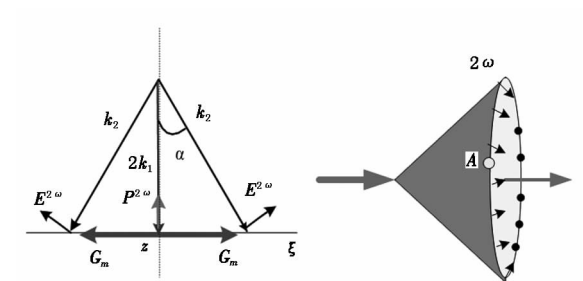
其中,  $E_x^\omega = E_0^\omega \cos\phi, E_y^\omega = E_0^\omega \sin\phi, \phi$  是偏振方向与  $x$  轴之间的夹角。对称群中  $d_{32} = d_{31}$ , 因此  $P_z^{2\omega} = d_{32} (E_0^\omega)^2$ 。

非线性极化式(21)成为二次谐波的来源。由于极化矢量的方向沿  $z$  轴,基频波只能产生非线性的二次谐波,相位条件为:

$$k_2 - k_1 = G_m \quad (24)$$

其中,  $G_m$  是 QPM 的第  $m$  阶矢量,代表了二阶非线性径向的调制;  $G_m = m(2\pi/\Lambda), m$  是整数。

图 11 是相位匹配图,图 11(a)中  $G_m$  为准相位匹配矢量,  $P^{2\omega}$  为双倍频率的介质极化强度,显示了位于同一平面上线性极化的两个这样的平面波的产生过程;图 11(b)所示的是与  $z$  轴成  $\alpha$  角度的所有平面波形成了一个 Bessel 光束。



(a) 二阶非线性调制的介质中产生的二次谐波的相位匹配图

(a) phase matching diagram for the second-harmonic generation in the medium with the transverse modulation of the second-order nonlinearity

(b) 二次谐波径向极化的发射锥

(b) emitted cone of the radially polarized second-harmonic radiation

图 9 相位匹配图

Fig. 9 phase matching diagram

为了找到二次谐波场的解析形式,我们整合了所有锥形发射的平面波,其公式如下:

$$E^{2\omega}(\rho, z) = S(z) e^{-ik_{2z}z} \int_0^{2\pi} \mathbf{u}(\phi) e^{ik_{2\rho}\rho \cos(\phi - \varphi)} d\phi \quad (25)$$

其中,  $k_{2z} = k_2 \cos \alpha$ ;  $k_{2\rho} = k_2 \sin \alpha$ ;  $S(z)$  是二次谐波的振幅; 函数  $u_\rho(\phi) = \hat{x} \cos \phi + \hat{y} \sin \phi$  代表了极化矢量的径向组成部分;  $\phi$  是方位角;  $\varphi = \cos^{-1}(x, \rho)$  是观察点  $(x, y)$  的方位坐标。

在公式(25)中,对于一个非线性介质,任意位置  $r = (\rho, z)$  二次谐波场的振幅为:

$$E^{2\omega}(\rho, z) = 2\pi S(z) e^{-ik_{2z}z} [iJ_1(k_{2\rho}\rho \sin \alpha) u_\rho - \tan \alpha J_0(k_{2\rho}\rho \sin \alpha) \mathbf{u}_z] \quad (26)$$

其中,  $\mathbf{u}_z$  是极化矢量的  $z$  组成部分。

光源为高斯光束时,产生的二次谐波是一阶 Bessel-Gauss 光束,其形式为:

$$E^{2\omega}(\rho, z) = \left[ \frac{u_\rho}{2} S(z) J_1(k_{2\rho}\rho) \exp(-ik_{2z}z) + c. c. \right] \quad (27)$$

2007 年, Solomon Saltiel 采用上述方法将一束频率为  $\omega$  的高斯光束照射到周期性极化的非线性光子晶体结构上,产生了一阶 Bessel-Gauss 光束形式的二次谐波<sup>[25]</sup>。

#### 4 结论

通过对高阶 Bessel-Gauss 光束产生方式的归类分析,可以发现被动式明显多于主动式。

产生高阶 Bessel-Gauss 光束的主动式还不成熟,比较单一,只有谐振腔。谐振腔产生高阶 Bessel-Gauss 光束的优点是产生的光束较完美,无需通过特定的光学元件,光转换效率很高,可以达到

80% 以上。缺点是产生的光束在自由空间中的传播距离过短。

相比较而言,产生高阶 Bessel-Gauss 光束的被动式较为成熟,有几何光学法、光学全息法、计算全息法、非线性光学法等。光学全息法要求预期光束必须存在,而计算全息法只要求波的表达式,计算全息法取代了光学全息法。利用几何光学法很容易获取高阶 Bessel-Gauss 光束,但光的转换效率依赖于第一步中 Gauss 光束转换为 Laguerre-Gauss 光束的转换效率;计算全息法是一种获取高阶 Bessel-Gauss 光束的简单有效的方法,但是产生的光束质量不如非线性光学法好,是类高阶 Bessel-Gauss 光束;非线性光学法产生高阶 Bessel-Gauss 光束的研究较多,一部分是利用晶体的双折射,一部分是利用非线性晶体的倍频效应,但是产生的高阶 Bessel-Gauss 光束无法在晶体外传播。

由此可见,对利用主动式产生高阶 Bessel-Gauss 光束应多加研究,对于被动式则应在非线性光学法这方面多做研究。

#### 参考文献:

- [1] Qiu Jianping, Liu Nanchun, Xia Yong, et al. Generation of hollow laser beams and their applications in modern optics [J]. Progress in Physics, 2004, 24 (3): 336 - 380. (in Chinese)  
印建平, 刘南春, 夏勇, 等. 空心光束的产生及其在现代光学中的应用 [J]. 物理学进展, 2004, 24 (3): 336 - 380.
- [2] Liu Qiuping. The transmission characteristics and singularity effect of hollow beams [D]. Changsha: Hunan Normal University, 2010. (in Chinese)  
刘秋平. 空心光束的传输特性及奇点效应研究 [D]. 长沙: 湖南师范大学, 2010.
- [3] D Mcgloin, K Dholakia. Bessel beams; diffraction in a new light [J]. Contemporary Physics, 2005, 46 (1): 15 - 28.
- [4] J Durmin, J J Miceli, Jr J H Eberly. Diffraction-free beams [J]. Physical Review Letters, 1987, 58 (15): 1499 - 1501.
- [5] K Volke-Sepulveda, et al. Orbital angular momentum of a high-order Bessel light beam [J]. Journal of Optics B, 2002, 9 (4): S82 - S89.
- [6] S Gustav, N Ralf, Bilal, W Thomas. Generation of hollow beams by sporal rays in multimode light guides [J]. Optics Express, 2010, 18 (5): 4510 - 4517.
- [7] J Arlt, V Garcés-Chavez, et al. Optical micromanipulation using a Bessel light beam [J]. Optics Communications,

- 2001,197(4-6):239-245.
- [8] S Orlov, K Regelskis, V Smilgevicius. Propagation of bessel beams carrying optical vortices [J]. Opt. Commun, 2002,209(1-3):155-165.
- [9] Michael L Gorodetsky, Aleksey E Fomin. Geometrical theory of whispering gallery modes [J]. Arxiv, 2005, 0509226v1:1-6.
- [10] Savchenkov A, Grudin I. Generation of high order bessel beams with whispering gallery mode resonators [J]. OSA, 2006, CFC5.
- [11] A B Matsko, A A Savchenkov, D Strekalov. Whispering gallery resonators for studying orbital angular momentum of a photon [J]. Phys. Rev. Lett., 2005, 95(14):143904.
- [12] Vladimir S Ilchenko, Makan Mohageg, Anatoliy A. Efficient generation of truncated bessel beams using cylindrical waveguides [J]. Optics Express, 2007, 15(9):5866-5871.
- [13] I Litvin, N Khilo. Intracavity generation of longitudinal dependent bessel like beams [J]. Proc. of SPIE, 2009, 7430(10):1-8.
- [14] Igor A Litvin, Nikolai A Khilo. Intra-cavity generation of bessel-like beams with longitudinally dependent cone angles [J]. Optics Express, 2010, 18(5):4701-4708.
- [15] J Arlt, K Dholakia. Generation of high-order bessel beams by use of an axicon [J]. Optics Communications, 2000, 177(1-6):297-301.
- [16] Oto Brzobohaty. High quality quasi-bessel beam generated by round-tip axicon [J]. Opt. Express, 2008, 16(17):12688-12700.
- [17] Graham Milne, Gavin D M. Tunable generation of bessel beams with a liquid axicon [J]. Applied Physics Letters, 2008, 92(26):1-3.
- [18] Selcuk Akturk, Cord L Arnold. Generation of high quality tunable bessel beams using a liquid-immersion axicon [J]. Optics Communications, 2009, 282(16):1-8.
- [19] Hee S Lee, B W Stewart. Holographic nondiverging hollow beam [J]. Physical Review A, 1994, 49(6):4922-4927.
- [20] Carl Paterson, Robin Smith. Higher-order bessel waves produced by axicon-type computer-generated holograms [J]. Optics Communications, 1996, 124(1-2):121-130.
- [21] Narupon Chattapiban. Generation of nondiffracting bessel beams by use of a spatial light modulator [J]. Optics Letters, 2003, 28(22):2183-2185.
- [22] V N Bely, N S Kazak. Generation of the second harmonics of bessel light beams in a KTP crystal [J]. Quantum Electronics, 1998, 28(11):1011-1016.
- [23] T A King, W Hogervorst. Formation of higher-order bessel light beams in biaxial crystals [J]. Optics Communications, 2001, 187(4-6):407-414.
- [24] N A Khilo, E S Petrova, et al. Transformation of the order of bessel beams in uniaxial crystals [J]. Quantum Electronics, 2001, 31(1):85-89.
- [25] Solomon Saltiel, Wieslaw Krolikowski. Generation of bessel beams by parametric frequency doubling in annular nonlinear periodic structures [J]. Optics Express, 2007, 15(7):4132-4138.
- [26] C F R Caron, R M Potvliege. Phase matching and harmonic generation in bessel gauss-beams [J]. Optics Info Base, 1998, 15(3):1096-1106.
- [27] Vladimir N Belyi, Nikolai A Khilo. Generation and propagation of high-order bessel vortices in linear and non-linear crystals [J]. Proc. of SPIE, 7430(OF):1-8.
- [28] Jun Ki Kim, Jongki Kim. Compact all-bessel beam generator based on hollow optical fiber combined with a hybrid polymer fiber lens [J]. Optics Letters, 2009, 34(19):2973-2975.
- [29] S N Kurilkina, V N Belyi, N S Kazak. Transformation of high-order bessel vortices in one-dimensional photonic crystals [J]. Journal of Optics, 2010, 12(1):1-12.
- [30] Wang Yanhua. Interference with the formation and propagation of the optical vortex [D]. Harbin: Harbin Institute of Technology, 2004. (in Chinese)  
王艳花. 干涉形成的光学涡旋及传播特性 [D]. 哈尔滨: 哈尔滨工业大学, 2004.
- [31] Yang Changlin. Biaxial crystal to generate dynamic characteristics of the hollow beam [D]. Changchun: Changchun University of Technology, 2010. (in Chinese)  
杨昌霖. 双轴晶体产生动态空心光束特性研究 [D]. 长春: 长春理工大学, 2010.
- [32] Luo Renjun. Several discussions about the light properties and the double refraction of light in uniaxial crystals [J]. College Physics, 2005, 24(3):37-42. (in Chinese)  
罗仁俊. 对单轴晶体中光的性质和双折射问题的几点讨论 [J]. 大学物理, 2005, 24(3):37-42.
- [33] Peter Muys, Eefje Vandamme. Direct generation of Bessel beams [J]. Applied Optics, 2002, 41(30):6375-6379.
- [34] Liu Qizhong, Gong Deming, et al. The numerical computation of FOCK functions [J]. Journal of Xidian University, 1991, 18(A11):56-64. (in Chinese)  
刘其中, 宫德明, 等. FOCK 函数的数值计算 [J]. 西安电子科技大学学报, 1991, 18(A11):56-64.